

14. Зарвин А. Е., Шарафутдинов Р. Г. Измерение параметров молекулярного пучка в присутствии остаточного газа.— В кн.: Динамика разреженных газов. Новосибирск, изд. Ин-та теплофизики СО АН СССР, 1976.
15. Scinner G. T., Moysis J. Experimental study of the collimation problem in a high-intensity molecular beam.— «Phys. Fluids», 1965, vol. 8, N 3.

УДК 533.932—533.601.18 : 539.198

## ИССЛЕДОВАНИЕ КОЭФФИЦИЕНТОВ АККОМОДАЦИИ ЭНЕРГИИ ПОЛОЖИТЕЛЬНЫХ ИОНОВ ПОТОКА РАЗРЕЖЕННОЙ ПЛАЗМЫ НА ПОВЕРХНОСТЯХ НЕКОТОРЫХ МАТЕРИАЛОВ

В. В. Губин, Н. П. Резниченко, В. А. Шувалов

(Днепропетровск)

При исследовании особенностей взаимодействия тел с газовыми потоками одним из наиболее существенных параметров является коэффициент аккомодации энергии частиц потока на поверхности тела. Лабораторные измерения коэффициентов аккомодации сопряжены с трудностями получения потоков со скоростями, близкими к скоростям движения тел в ионосфере. В данной работе приведены результаты измерения значений  $\alpha_i$  для широкого диапазона скоростей потока  $u_\infty \approx 6,5 - 25$  км/с.

Выбор исследуемого тела определяется как требованиями наличия бесстолкновительного режима течения, так и техническими удобствами измерений в потоке. Наиболее удобным, очевидно, является насадок с плоской рабочей поверхностью. Уравнение энергетического баланса для рабочей поверхности такого насадка, ориентированной перпендикулярно вектору скорости набегающего потока, записывается в виде [1]

$$Q_n + Q_\alpha + J + A\varepsilon\sigma(T_0^4 - T_w^4) - \frac{\partial}{\partial x} \left( -AK_w \frac{\partial T_w}{\partial x} \right) = 0,$$

где  $Q_\alpha = Q_i = (\dot{I}_i/e)\{\xi + \alpha_i(W_i + e|V|) - \gamma_i\varkappa\}$  при  $V < 0$ ;  $Q_\alpha = Q_e = (\dot{I}_e/e)(2kT_e + e|V| + \varkappa)$  при  $V > 0$ ;  $Q_\alpha = Q_i + Q_e$  при  $V \leq 0$ . Здесь  $Q_n$  — полное количество тепла, переданное зонду нейтралами за единицу времени;  $Q_\alpha$  — количество тепла, переданное зонду заряженными частицами;  $J$  — энергия электрического нагрева;  $A$  — площадь поверхности;  $\varepsilon$  — коэффициент излучения;  $\sigma$  — постоянная Стефана — Больцмана;  $\xi = h_i - \varkappa$  — разность между энергией ионизации и работой выхода электрона;  $\gamma_i$  — коэффициент вторичной эмиссии;  $T_0$  — температура стенок рабочей части установки;  $K_w$  — коэффициент теплопроводности;  $\dot{I}_{e,i}$  — зондовый ток;  $W_i$  — энергия ионов, переносимая на границу раздела плазма — слой;  $V$  — разность потенциалов, пробегаемая частицей в приэлектродном слое.

В ходе эксперимента при работе с термоанемометрическими зондами одновременно снимаются две характеристики:  $T_w = T_w(V)$  — температурная и  $\dot{I}_\Sigma = \dot{I}_\Sigma(V) = \dot{I}_e + \dot{I}_i$  — вольт-амперная. На температурной характеристике всегда имеются точки с равными температурами при разных потенциалах зонда  $T_w^A (V^A < 0) = T_w^B (V^B > 0)$  [1]. Из уравнения энергетического баланса для таких точек получим  $Q_i^A = Q_e^B$  или

$$\frac{I_i^A}{e} \{ \xi + \alpha_i (W_i + e |V^A|) - \gamma_i \kappa \} = \frac{I_e^B}{e} (2kT_e + e |V^B| + \kappa).$$

Это соотношение позволяет определять коэффициент аккомодации энергии ионов  $\alpha_i$  на материале рабочей поверхности термоанемометрических зондов.

Экспериментальные исследования проводились на плазменной газодинамической установке в потоке частично ионизованного газа низкой плотности, генерируемом плазменным ускорителем с ионизацией рабочего тела электронным ударом. Схема источника такого типа приведена в [2]. Работа источника характеризовалась следующими параметрами: разрядный ток  $\sim 0,1\text{--}8,0$  А, разрядное напряжение относительно корпуса рабочей камеры  $\sim -120$  В, максимальная напряженность магнитного поля в центре на оси источника  $\sim 650$  Э.

Ускоренный поток плазмы интенсивностью  $j_m \simeq 10^{15} - 10^{17}$  ион/см<sup>2</sup>·с поступал в рабочую камеру, давление остаточных газов в которой составляло  $\sim 7 \cdot 10^{-7} - 1 \cdot 10^{-6}$  мм рт. ст. Измерения выполнялись для широкого диапазона энергии ионов потока при давлении в рабочей камере  $(0,87 - 1,6) \cdot 10^{-5}$  мм рт. ст. Напряженность магнитного поля в точке измерения не превосходила  $\sim 5$  Э.

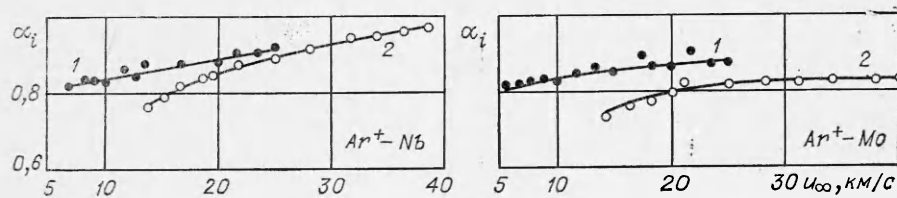
Для измерения коэффициентов аккомодации энергии ионов использовался плоский термоанемометрический зонд, выполненный в виде диска  $\delta = 0,12$  мм с рабочей поверхностью диаметром 3,5 мм, к тыльной стороне которого присоединены нить токоподвода диаметром 0,1 мм и термопара диаметром 0,15 мм. Боковая поверхность датчика, термопара и элементы токоподвода изолировались от контакта с плазмой керамической трубкой.

Вольт-амперные характеристики  $\lg I_e = f(V)$  имели четко выраженный прямолинейный участок. Это позволило определить температуру электронов  $T_e \simeq 2,5 - 4,1$  эВ обычным способом [3].

Потенциал плазмы  $\varphi_0$  определяется методом второй производной, а также по электронной части зондовой характеристики, построенной в полулогарифмическом масштабе. Это определило достаточно высокую точность измерения энергии ионов потока  $W_i$ , переносимой частицами к поверхности раздела плазма — слой. Полученные значения удовлетворительно согласуются со значениями  $W_i$ , вычисленными в предположении, что ускоряющий потенциал равен разности между потенциалом анода источника и локальным потенциалом плазмы. Разброс полученных значений  $W_i$  не превосходит  $\pm 4,5\%$ .

Гребенка датчиков с рабочими поверхностями, изготовленными из различных материалов, помещалась в высокоскоростной поток частично ионизованного газа низкой плотности. Для контроля локальных значений рабочих параметров потока и ориентации датчиков относительно вектора скорости потока  $u_\infty$  использовался тонкий цилиндрический зонд, изготовленный из молибденовой нити диаметром 0,09 и длиной 4,0 мм. Пик ионного тока, измеряемого таким зондом при вращении вокруг горизонтальной и вертикальной осей, соответствует ориентации зонда вдоль по потоку [4].

Зонды изготавливались из молибдена, ниобия, алюминия, алюминиевых сплавов АМг6-М, Д16Т, обычных сталей 2Х13, 12Х18Н10Т, ст. 25 и кремниевого элемента панелей солнечных батарей. Рабочие поверхности зондов из Mo и Nb соответствовали седьмому классу чистоты, поверхности остальных зондов — рабочему состоянию поверхностей этих материалов [5]. Непосредственно перед проведением измерений рабочие поверхности зондов облучались потоком плазмы, а также в течение 15—20 мин подвергались принудительной бомбардировке электронами при положитель-

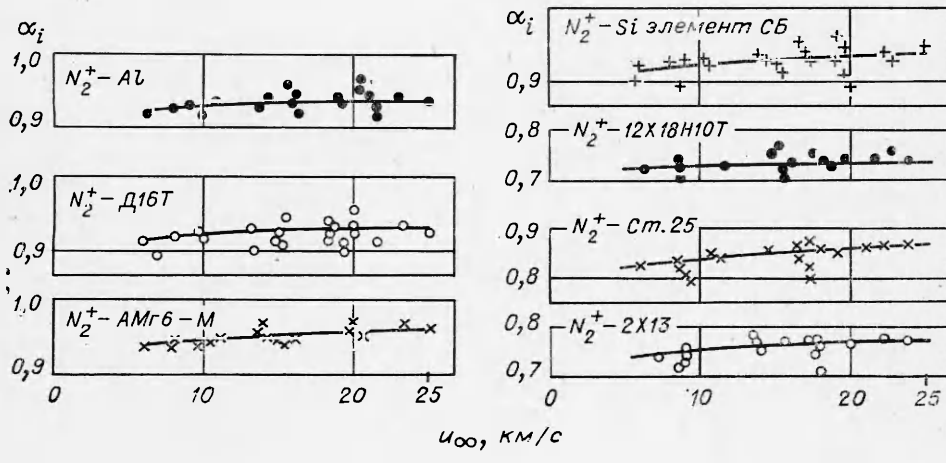


Фиг. 1

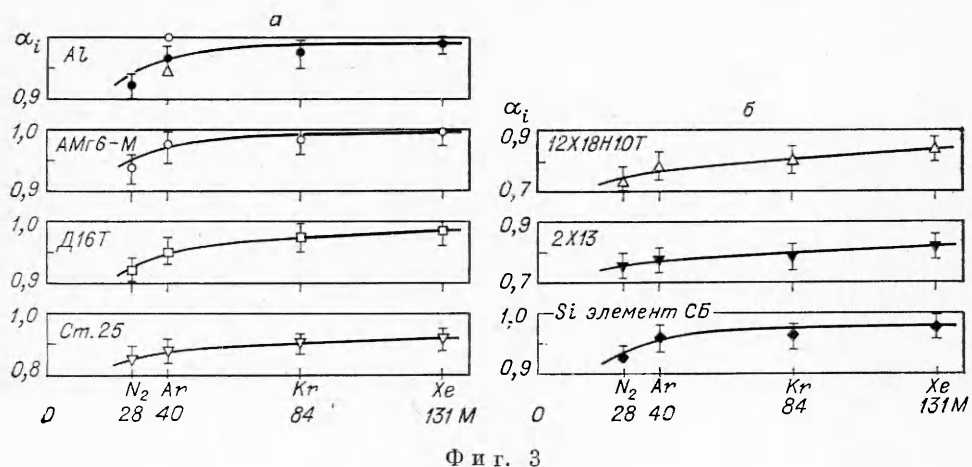
ных потенциалах  $\sim 250$  В и прогреву до температур, при которых не происходит разрушение материала зонда. Работа выхода  $\chi$  чистых материалов определялась по табличным данным [6], для оценки коэффициента вторичной эмиссии  $\gamma_i$  использовались данные [7].

Результаты измерения коэффициентов аккомодации ионов  $\text{Ar}^+$  на молибдене и ниобии показаны на фиг. 1. Точки кривой 2 — результаты измерения  $\alpha_i$  калориметрическим методом работы [8]. Следует отметить, что при определении  $\alpha_i$  точки кривой  $T_w = T_w(V)$  выбирались таким образом, чтобы  $e|V^A| \ll W_i$ . При энергиях ионов  $W_i \ll 20$  эВ для определения  $\alpha_i$  использовалось соотношение  $(Q_i + Q_e)^A = Q_e^B$ , где  $Q_e = (I_e/e)(2kT_e + \chi)$ . В этом случае электронный ток  $I_e^A$  определялся с помощью линейной экстраполяции ионной ветви зондовой характеристики. Приведенные данные свидетельствуют об удовлетворительном соответствии результатов измерения  $\alpha_i$  для  $\text{Ar}^+$  на Mo и Nb, выполненных независимыми методами. Кроме того, результаты измерений на Mo (кривая 1) удовлетворительно согласуются со значениями  $\alpha_i = 0,75 \pm 0,05$  и  $\alpha_i = 0,81; 0,84$  для ионов  $\text{Ar}^+$  с энергиями  $W_i \approx 21-141$  эВ, полученными в [9, 10]. Результаты измерения коэффициентов аккомодации энергии ионов  $\text{N}_2^+$  на поверхностях других материалов приведены на фиг. 2. Общим для этой серии измерений является увеличение  $\alpha_i$  с ростом скорости потока. Последнее качественно согласуется с результатами измерений коэффициента аккомодации нейтралов воздуха в интервале чисел Маха 1,5—3,0 на проволоке вольфрам-рениевого сплава, покрытого золотом и палладием [11].

Фиг. 3 иллюстрирует характер изменения  $\alpha_i$  ионов  $\text{N}_2^+$ ,  $\text{Ar}^+$ ,  $\text{Kr}^+$  и  $\text{Xe}^+$  при  $u_\infty \approx 10$  км/с. Для  $\text{Ar}^+$  на Al светлая точка — результаты



Фиг. 2



Ф и г. 3

работы [10], треугольник — данные [9]. Температура поверхности зондов при измерениях равнялась  $T_w = 304—318$  К. Для контроля температуры поверхности зондов при измерении  $\alpha_i$  перед проведением экспериментов датчики предварительно тарировались в термостате, определялась зависимость  $T_w = T_w(E)$ , где  $E$  — ЭДС термопары. Практически на всех материалах с ростом молекулярного веса  $M$  бомбардирующего поверхность иона наблюдается увеличение коэффициента аккомодации. На фиг. 3 обозначен разброс значений  $\alpha_i$  для различных серий измерений. Погрешность измерений  $\alpha_i$  не превосходит  $\sim 7,5\%$  для чистых металлов и  $\sim 10\%$  для сплавов. Некоторое увеличение погрешности для сплавов обусловлено неопределенностью выбора значений работы выхода  $\chi$  и коэффициента вторичной эмиссии  $\gamma_i$ .

Поступила 5 VI 1978

#### ЛИТЕРАТУРА

- Хазен А. М., Шувалов В. А. Применение термоанемометра — зонда Ленгмюра для диагностики разреженной плазмы. — ТВТ, 1969, т. 7, № 5.
- Сапожников Г. И. Экспериментальные исследования потока ускоренных ионов и его взаимодействия с обтекаемыми моделями. — «Учен. зап. ЦАГИ», 1971, т. 2, № 1.
- Грановский В. А. Электрический ток в газе. М., Гостехиздат, 1952.
- Sanmartin J. R. End effect in Langmuir probe response under ionospheric satellite conditions. — «Phys. Fluids», 1972, vol. 15, N 6.
- Ковтуненко В. М., Камеко В. Ф., Яскевич Э. П. Аэродинамика орбитальных космических аппаратов. Киев, «Наукова думка», 1977.
- Физико-химические свойства элементов. Киев, «Наукова думка», 1965.
- Добрецов Л. Н., Гомоюмова Н. И. Электронная и ионная эмиссия. М., «Наука», 1968.
- Гусев К. И., Рыжков Ю. А., Шкарбан Н. И. Измерение коэффициента аккомодации энергии при бомбардировке металлов положительными ионами инертных газов. — В кн.: Аэродинамика разреженных газов. Л., изд. Ленингр. ун-та, 1974, № 7.
- Compton K. T. Accommodation coefficient of gaseous ions at cathodes. — «Proc. Nat. Acad. Sci.», 1932, vol. 18, N 4.
- Compton K. T., Lamar E. S. A test of the classical «Momentum transfer theory of accommodation coefficients of ions at cathodes». — «Phys. Rev.», 1933, vol. 44, N 9.
- Перов С. П. Измерение коэффициента аккомодации воздуха на металлических нитях. — «Труды ЦАО», 1965, вып. 61.